

# © ПОЛЯКОВ С. П. АТРИСНАЯ СТРУКТУРА ГРАФАНА

## Аннотация

*Открыта структура графана и установлено, что он состоит из трех сплошных, параллельных слоев билтонов атомов Н–С–Н, соединенных между собой андистонами.*

*Синтез графана приводит к внутриядерному перераспределению энергии между атринами спанов и пульсэдов реперных протонов водородов и углеродов, в результате чего графен теряет свойство металла и становится диэлектриком. Произведен расчет размеров билтонов и андистонов атомов Н и С, а также плотности графана. Выполнен сравнительный анализ графана и бензола, у которых одинаковый атомарный состав и параметры атомов.*

## Содержание

Введение

1. Атрисная структура ядер атомов
2. Законы синтеза молекул и кристаллов
3. Структура графана
4. Плотность графена и графана

Выводы

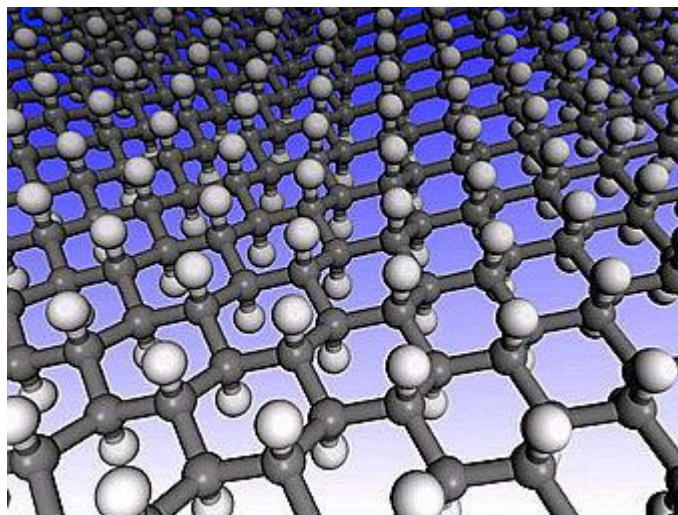
Литература

Термины

## Введение

В 2004 году международная группа исследователей из Университета Манчестера получила новый материал, который назвали ГРАФАН.

Для получения графана исследователи помещали графен в газообразный водород и пропускали через газ электрический ток. Молекулы водорода распадались на атомы и подсоединялись к атомам графена по очереди: один сверху «листа», а другой – снизу. Как считают исследователи, в результате такого подсоединения деформировалась плоская структура графена (рис. 1).



**Рис.1.** Предполагаемый классической наукой вид графана.

Дадим интерпретацию структуре графана на основе Атрисной физики. Для этого кратко представим внутреннюю структуру ядра и атома в целом.

### 1. Атрисная структура ядер атомов

До настоящего времени квантовая теория не имеет объяснений. В ее разработку внесли весомый вклад физики XX столетия Абэй Аштекар, Тед Джекобсон, Ежи Левандовский, Карло Ровелли, Ли Самолин, Томас Тиманн и др.

Еще 30 октября 1911 года на Международной конференции физиков в Брюсселе, маститый Анри Пуанкаре, который во всем прекрасно разбирался, отнесся к новой теории весьма скептически: «Большинство путей господина Эйнштейна ведут в тупик, но надо надеяться, что хоть один из указанных им направлений окажется правильным. И этого вполне достаточно. Задача математической физики – ставить вопросы: решить же их может только опыт».

Последователи Эйнштейна приняли абстрактную постановку математических задач, при отсутствии физического смысла, за основу фундаментальной науки мира, что привело ее в тупик...

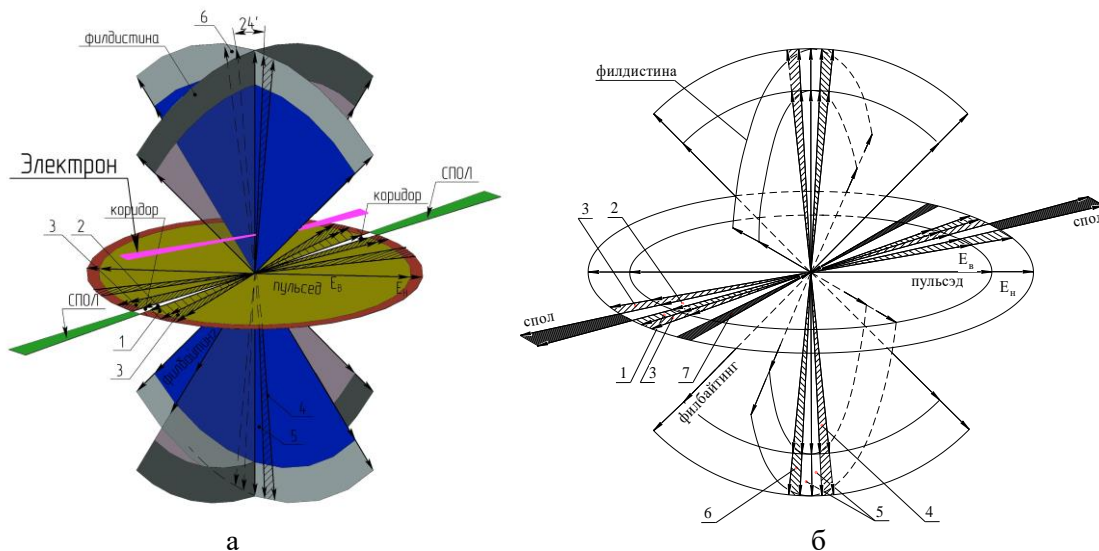
В отличие от квантовой теории, в основу Атрисной физики приняты результаты экспериментальных измерений физических свойств реальной материи, которые подверглись креативному осмыслению, что открыло принципиально новое виденье причин явлений и эффектов, находящихся за пределами возможностей инструментальных измерений.

Путем креативного мышления получены открытия основ Атрисной физики, что дало возможность зримо представить структуру, состав, внутренние ритмы колебаний энергии в ядрах атомов и процессов синтеза всех видов полей. Инструментальные методы исследований, разработанные учеными, не имеют разрешающей способности, чтобы видеть размеры частичек до  $10^{-100}$  м и измерять промежутки времени до  $10^{-100}$  с. Поэтому все попытки ученых, определить структуру и состав ядер атомов инструментальными методами, принципиально безрезультатны.

Каждый атом таблицы элементов создан по фрактальному принципу и состоит из трех ярусов, каждый из которых имеет собственную структуру и физические свойства, разные размеры и выполняет строго заданные ему функции.

**Первый ярус** - ядро атома (рис. 2, а и б). Каждое ядро атома Вселенной имеет реперный протон, который сохраняет свою индивидуальность до радиоактивного распада. Радиус яритиса и филбайтинга реперного протона имеют одинаковые радиусы, которые равны  $r \approx 1,22 \cdot 10^{-12}$  м, а наружные, изменяются в зависимости от температуры (избыточной энергии) атринов.

В ядре сосредоточены нуклоны, представляющие собой пакет дисков, стянутых филбайтингом.



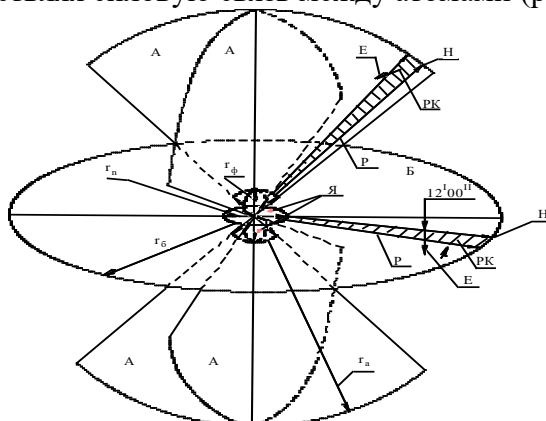
**Рис. 2. Общий вид ядра атома водорода:**

1 и 2 - секры электрона и спол в пульсэде; 3 – секры спана в пульсэде; 4 – квадрон спана с внутренними атринами; 5 – секры электрона и спол в филбайтинге; 6 – квадрон спана с наружными атринами; 7 – электрон;  $E_v$  – внутренние серии;  $E_n$  – наружные серии.

Каждый электрон состоит из двух блоков: физической основы и ее системы привода, системы управления и системы ее привода, которая одновременно является памятью электрона. Нуклоны ядер атомов и электроны имеют системы мышления, которые синтезируют из атрисов эфира голограммы и осуществляют управление всеми структурами ядра и атома в целом. Электроны в ядре атома осуществляют энергоинформационный обмен.

**Второй ярус** – жесткая стационарная однослойная структура, которая выходит из системы управления ядром – наружных вистр яритиса, а также филбайтинга, определяет геометрические параметры атомов всех тел и не обнаруживается при инструментальных измерениях. Радиус

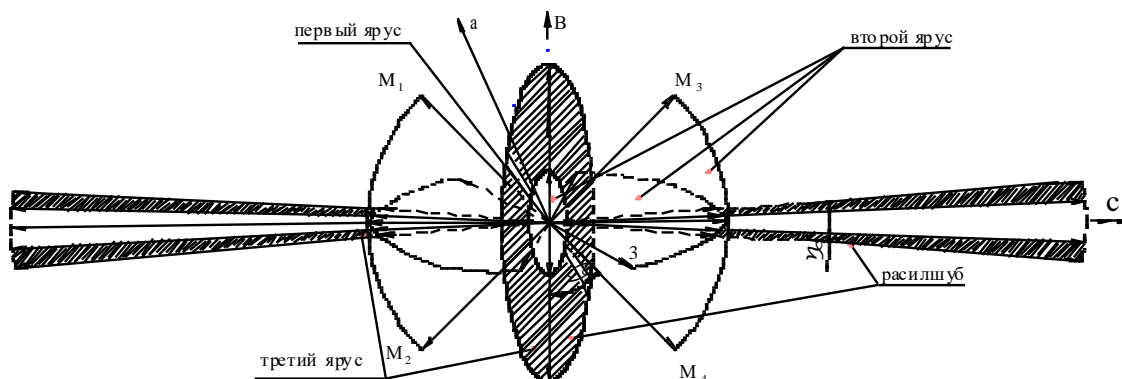
второго яруса равен  $l \cdot 10^{-10}$  м (где  $l \approx 0,4 \div 2$ ), и он определяет расстояния между атомами в молекулах и кристаллах, осуществляя силовую связь между атомами (рис. 3).



**Рис. 3. Два яруса атома водорода:**

Я – ядро атома; А, Б – стационарная защитная оболочка, состоящая из билтона – Б и андистонов – А;  $r_n$  – радиус пульсэда;  $r_ф$  – радиус филбайтинга;  $r_б$  – размер серий рейкиса билтона;  $r_а$  – размер серий рейкиса андистона; Р – рейкис; РК – ряды квантонов.

**Третий ярус** – защитная, сменная поверхность, размер которой в отсутствии силовых нагрузок на атомы, равен  $2l \cdot 10^{-10}$  м. Третий ярус синтезируется за время порядка  $10^{-41}$  с, и сменяется по истечению времени порядка  $10^{-20}$  с (рис. 4).



**Рис. 4. Атом водорода (схематическое изображение):  $M_1$ - $M_4$  – уголки андистронов.**

Третий ярус определяет все физико-химические и механические свойства материального мира. У третьего яруса имеется внутренняя и наружная поверхности, которые выполняют противоположные действия (минус и плюс). Третий ярус может создаваться по границам раздела фаз и в зонах силовой связи между атомами в молекулах и кристаллах. Поэтому дальнейшие исследования будут посвящены установлению связей между состоянием ядра и свойствами материи.

В момент радиоактивного распада нейтрона синтезируется ядро атома, представляющее собой жесткую сложную фигуру, которая сохраняется до момента радиоактивного распада ядра.

Пульсэд, яритис, филбайтинг, филбайтина спан, билтон представляются в единую систему, которая сохраняется во всех ядрах атомов. У атома водорода имеется один реперный протон, У каждого последующего ядра системы элементов также имеется только один реперный протон. Все остальные нуклоны ядра атома располагаются параллельно яритису реперного протона, имеют один общий полюс, но независимо от реперного протона совершают циклические колебания атринов и вращаются, создавая спин, равный 0,5.

Только реперные протоны всех ядер атомов устанавливают силовую связь уголками андистонов и андистронов со смежными ядрами атомов и не могут совершать вращения (создавать спин). Т.е. структура всех твердых тел и молекул является жесткой, так как реперные протоны этих ядер не могут вращаться, создавая спин.

Реперный протон поворачивается на амплитуду пульсаций векторов атрисов квантонов в один полупериод и возвращается в прежнее положение в результате действия вращательного момента, созданного силой, возникающей в результате действия силовой связи между уголками андистронов смежных атомов. Таким образом, у реперных протонов твердых тел и жидкостей спин существует и не существует одновременно, так как вращение под его действием не происходит.

У каждого атома есть жесткая не изменяющаяся структура, возникшая в результате радиоактивного распада нейтрона, которая состоит из яритисов, филбайтингов и филбайтин, которые остаются даже после радиоактивного распада физической основы ядра.

Единственным ресурсом Вселенной являются атрисы эфира. Управление атомом осуществляет ядро, которое состоит из нуклонов, собранных в пакет и стянутых спаном (рис. 5).

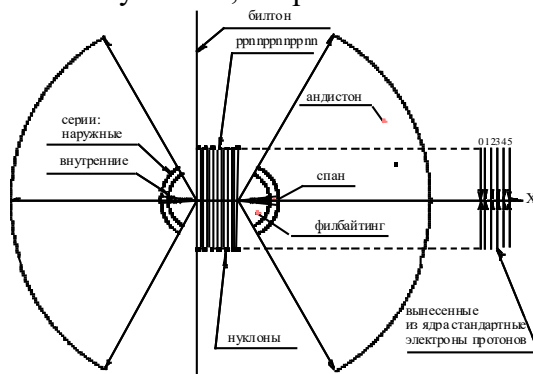


Рис. 5. Сечение многонуклонного атома без расилшуба (углерод).

В каждом нуклоне совершаются независимые от других нуклонов циклические колебания атринов, синтез гравитонов, создание спина и магнитного дипольного момента. Электроны сканируют поверхности пульсэдов протонов, освобождая атрины пульсэдов от избыточной энергии, а также выполняют другие функции по защите ядер атомов. На рисунке 2, б приведен электрон, сканирующий поверхность яритиса атома. Останавливается электрон только после каждого полупериода циклических колебаний атринов. Вследствие того, что при рекомбинации электрона ядром протона сбрасывается часть энергии связи или энергии ионизации, поворот биртрона электрона за полупериод всегда меньше 180 градусов. Поэтому электрон, сканируя поверхность яритиса, может снимать энергию со всех вистр андистонов и андистронов, однако сбрасывать в твердом теле может только в полюсе ядра атома, когда ось биртрона совпадает с осью атринов спона. Энергия вдоль серий всех элементарных объединений – атринов, вистр, рейкисов, вистр и расилов – квантуется.

Отрезок серий атрина, энергия которого равна кванту действия, создает уплотнение, которое устанавливает силовую связь посредством атросов, с аналогичным отрезком. Если бы мы представили атрин, то увидели бы, что вдоль серий энергия квантов действия распределена по закону синусоидальной четной функции.

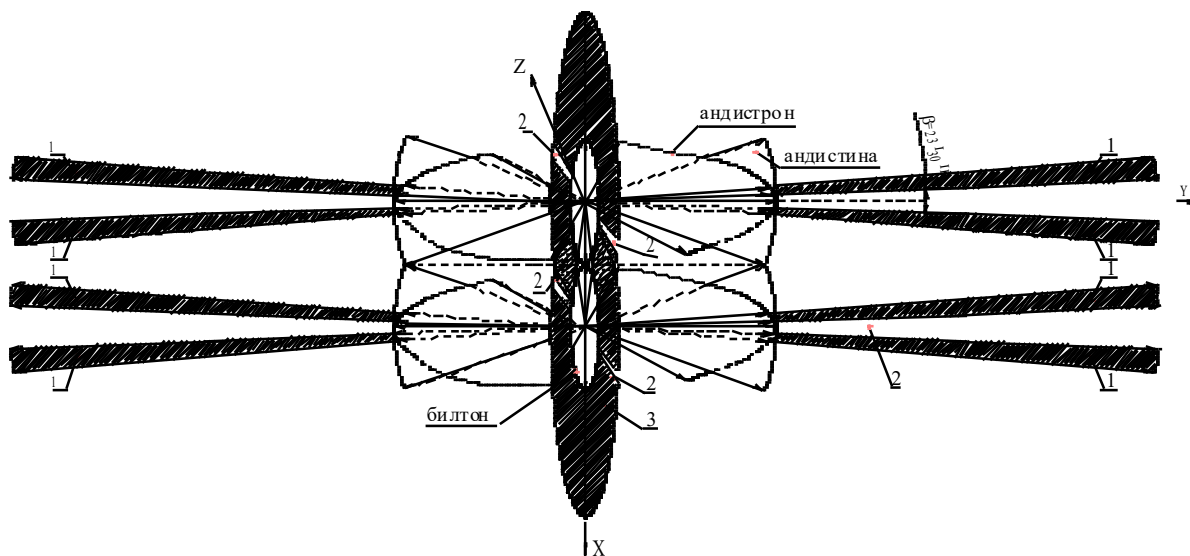
Ядра атомов собраны из чередующихся в пакете нейтронов и протонов в виде отдельных дисков – пульсэдов (рис. 6) и стянуты филбайтингом.

В каждом нуклоне совершаются независимые от других, но согласованные циклические колебания атринов, синтез гравитонов, создание спина и магнитного момента. Электроны сканируют поверхности протонов, освобождая атрины пульсэдов от избыточной энергии. Новый период циклических колебаний атринов всех нуклонов ядра атома начинается одновременно. Поэтому атрины нуклонов, завершившие период циклических колебаний раньше других, совершают холостые пульсации без циклических перемещений.

Серии рейкисов билтона и андистонов являются продолжением наружных серий вистр яритиса и филбайтинга и не имеют системы привода, т.е. они создают один слой каждый.

Длина первичных серий рейкисов определяется энергией спиновых серий, а у андистонов – энергией отрезков наружных серий атринов спана, выходящих за пределы внутренних.

Вдоль серий вистр по программам создаются уплотнения из вектора квантонов – векторов адрат, при помощи которых осуществляется процессы управления векторами квантов действия атринов. Вектора адрат определяют изменения структуры физических свойств атомов, а также всех соединений из атомов.



**Рис. 6. Линейная двухатомная молекула:**  
 1– расилшубы андистронов, 2– секры билтонов, 3– расилшубы билтонов.

У фотонов частицы витры устанавливают вдоль серий такое количество векторов адрат, сколько имеется квантов действия у фотона. Размер амплитуды пульсаций векторов квантонов атринов в сериях частиц устанавливают вектора адрат системы управления.

Как показала Атрисная физика, атомы ориентируются в пространстве относительно друг друга при помощи расиловых волн, которые могут их притягивать или отталкивать. Если атомы приближаются друг к другу на расстояние, на котором начинают действовать атраусы силовой связи, образуется молекула. В молекуле рейкисы билтонов и андистронов атомов создают единую пульсирующую систему. Препятствием к созданию молекул из атомов может служить излучение одним из ядер атомов расиловых волн, которые отталкивают от себя другое ядро атома.

Пусть энергетическое состояние атомов способствует созданию молекулы, и атомы движутся навстречу друг другу. Их билтоны располагаются в одной плоскости, а один из андистронов каждого атома – в другой. Радиусы у билтонов и андистронов одного и того же атома могут быть при этом разными по величине, что определяется величиной энергии спиновых серий атринов пульсэдов и спанов. Если  $r_a \geq r_b$ , то андистоны сжимаются:

$$\frac{r_a}{\sqrt{2}} > r_b,$$

где  $r_a$  и  $r_b$  – радиусы андистона и билтона.

В этом случае андистоны сжимаются в виде веера до установления прямого силового контакта между билтонами атомов молекулы, превращаясь в *андистины*, а вторая пара андистронов (расположенная перпендикулярно) оказывается неподверженной сжатию – это *андистроны* (рис. 6).

Если в момент синтеза молекулы атомы имели разную по величине избыточную энергию, то в молекуле сразу же идет сброс избыточной энергии или ее выравнивание. Так как частота пульсаций квантонов в сериях билтонов и андистронов всех атомов Вселенной остается величиной постоянной, то у атомов молекулы может происходить согласование только амплитуд колебаний квантонов билтонов и андистронов.

## 2. Законы синтеза молекул и кристаллов

1. Атомы могут устанавливать следующие силовые связи: ВСТЫК–рейкисами билтонов и андистронов; ВНАХЛЕСТ–плоскостями билтонов и андистронов; УГОЛКАМИ АНДИСТРОНОВ–работают крайние рейкисы андистронов; ВЗАИМНОЕ ПЕРЕСЕЧЕНИЕ БИЛТОНОВ И АНДИСТОНОВ.

2. В каждом атоме атрины спанов располагаются только в одной плоскости филбайтинга и не могут изменить угол раскрытия своих серий, а потому и андистоны этих плоскостей сохраняют свою форму: их назвали АНДИСТРОНЫ.

3. При силовой связи встык размеры серий рейкисов должны иметь одинаковую величину.

4. Силовая связь внахлест осуществляется при взаимном наложении плоскостей билтон–билтон, андистон–андистон. Силовая связь внахлест билтон–андистон бывает очень редко.
5. Слои билтонов и андистонов в неорганических молекулах и кристаллах расположены параллельно: билтоны–билтоны, андистины–андистины, андистроны–андистроны.
6. Наружные атрины спанов всех атомов системы оканчивают полупериод циклических колебаний одновременно.
7. Наружные атрины пульсэдов реперных протонов всех атомов системы оканчивают полупериод циклических колебаний одновременно, однако время окончания периодов у спанов и пульсэдов может быть разным.
8. Энергия внутренних атринов пульсэдов реперных протонов системы у всех атомов должна быть одинаковой, но не равной энергии наружных атринов спанов.
9. Энергия внутренних атринов спанов и пульсэдов реперных протонов может быть большей или равной стандарту нейтрона.

Законы синтеза молекул и кристаллов представлены в классической физике без учета внутриядерных процессов, согласно которым фазовые переходы определяются термодинамической теорией, где первые или вторые производные от термодинамического потенциала определяют фазовые переходы первого или второго рода.

При фазовых переходах первого рода плотность и термодинамические функции (энергия, свободная энергия, энтропия, энтальпия и др., кроме потенциала  $\Phi$ ) в точке перехода изменяются скачком. Фазовые переходы первого рода отличаются от нуля теплотой фазового перехода.

При фазовых переходах второго рода плотность и термодинамические функции непрерывны, скачок испытывают производные этих функций по физическим параметрам. Реальные физические процессы, протекающие в молекулах и кристаллах, остались неизвестными. Есть математика, но нет физики.

### 3. Структура графана

Графан имеет три слоя билтонов Н–С–Н, соединенных между собой андистонами. Рассмотрим плоскость кластера графена, на которую будут нанесены атомы водородов. У атомов углерода графена размер серий андистонов равен  $r_{ac} = 0,173$  нм, у атомов водорода размер  $r_{ан} = 0,4305$  нм при сохранении постоянными размеров серий билтонов. При синтезе графана размеры рейкисов билтонов атомов углерода и водорода должны быть одинаковыми. У графена структура жесткая и размеры серий рейкисов не могут изменяться, энергия внутренних и наружных атринов спанов может изменяться. Для синтеза углерода с водородом необходимо, чтобы наружные атрины спанов атомов водорода сбросили свою избыточную энергию. Установление силовой связи атраусами между рейкисами андистонов углерода и водорода приводит к мгновенному выравниванию энергий у наружных атринов спанов в результате сброса ее на свободные вистры филбайтингов. Энергия наружных атринов спанов становится меньше стандарта нейтрона и графен теряет проводимость металла.

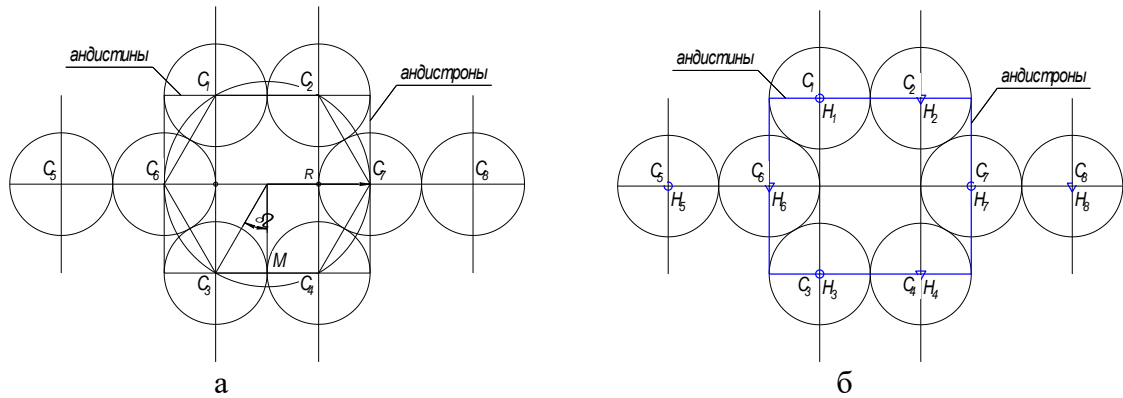
Избыточная энергия из вистр филбайтинга распределяется между наружными атринами пульсэдов протонов водорода, что приводит к увеличению серий билтонов. Распределение энергии при фазовых переходах, происходящих в ядрах атомов, подлежит расчету. Для этого необходимо разрабатывать программы.

Предположим, что размеры серий рейкисов билтонов и андистонов графена в процессе синтеза графана не изменились (рис. 7-8).

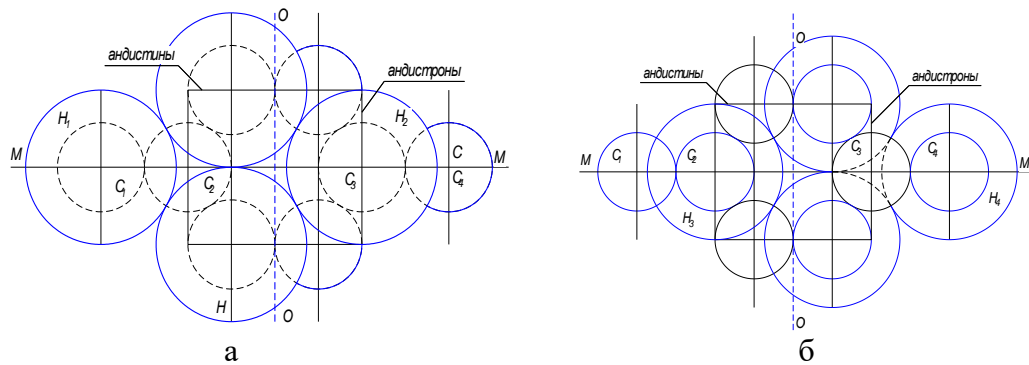
Параметры билтонов и андистонов атомов графана определим по законам Атрисной физики при условии, что андистроны параллельных молекул слоя устанавливают силовую связь своими уголками, а атомы углерода расположены в вершинах правильного шестиугольника с ребром  $l_{cc}=0,142$  нм:

$$r_{bc} = \frac{l_{cc}}{2} = 0.071 \text{ нм}, \quad r_{ac} = \frac{l_{cc}\sqrt{3}}{\sqrt{2}} = 0.173 \text{ нм}, \quad (1)$$

где  $r_{bc}$ –радиус билтона атома углерода,  $r_{ac}$ –радиус андистона атома углерода.



**Рис. 7. Кластер билтонов атомов графена – а; и кластер графена – б, на который спроектированы полюса билтонов атомов водорода верхнего ( $H_5; H_1; H_3; H_7$ ) и нижнего ( $H_6; H_2; H_4; H_8$ ) слоев графена.**

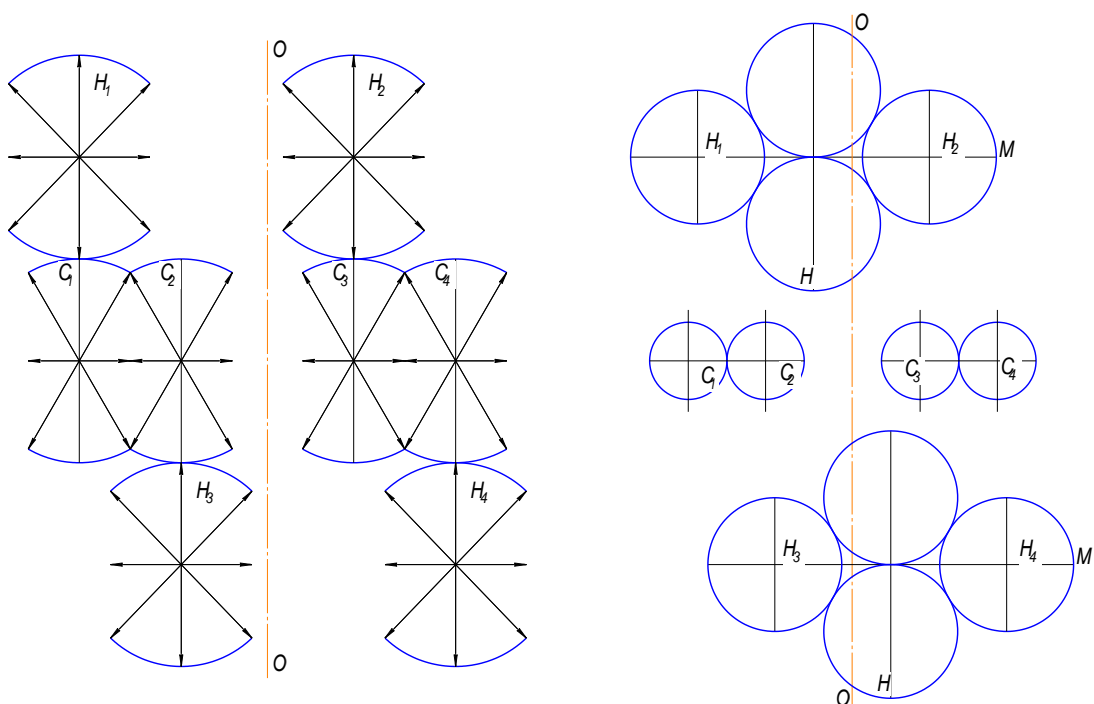


**Рис. 8. Проекция верхнего (а) и нижнего (б) слоев атомов водорода на слой билтонов атомов углерода графена.**

В слое билтонов атомов водорода устанавливается силовая связь между рейками соседних атомов (рис. 7, а), а потому радиус билтона атома водорода графена можно рассчитать по формуле:

$$r_{\text{он}} = \frac{l_{\text{cc}} \sqrt{3}}{2} = 0.1229756 \text{ нм}. \quad (2)$$

Андистоны осуществляют силовую связь между слоями билтонов (рис. 9).



**Рис. 9. Сечение М–М (рис.8) кластера графена (А) и слой билтонов развернутые на 90°.**

Как видно из рисунка 9, к каждому атому молекулы углерода  $C_2$  графана подсоединяется по одному атому водорода, но с диаметрально противоположных сторон от слоя билтонов углерода.

#### 4. Плотность графена и графана

Представление о графене как о плоскости 2D – ошибочно. Графен имеет толщину равную двум радиусам андистонам, а потому его плотность можно рассчитать. На один правильный шестигранник графена приходится два атома углерода. Площадь правильного шестиугольника, если известна его сторона, рассчитывается по формуле:

$$S_1 = 1.5 \cdot \sqrt{3} \cdot l_{cc}^2. \quad (3)$$

Толщина слоя графена, без учета его расилшубов, равна:

$$h_1 = 2 \cdot r_a. \quad (4)$$

Плотность графена рассчитаем по формуле:

$$\rho_1 = \frac{m}{V} = \frac{2 \cdot m_c}{4.5 \cdot \sqrt{2} \cdot l_{cc}^3}, \quad (5)$$

где  $m_c = 19,93366 \cdot 10^{-27}$  кг – масса атома углерода. Расчет по (5) показал, что плотность графена равна  $2133,33 \text{ кг/м}^3$ , что меньше табличных величин для плотности графита.

Расчет плотности графана производится по (5) при условии, что  $m = 2(m_n + m_c)$ , а  $h_2 = 3h_1$ , получим:

$$\rho_2 = \frac{2 \cdot (m_c + m_n)}{4,5 \cdot \sqrt{2} \cdot l_{cc}^3} = 772.495 \text{ кг/м}^3. \quad (6)$$

Сравнивая плотность графана с плотностью воды, видим, что у воды плотность больше  $\rho_3 = 1000 \text{ кг/м}^3$ . Таким образом, графан представляет собой трехслойный материал с низкой плотностью и полупроводниковыми свойствами. Это возникло в результате того, что электрон проводимости из области спана атома углерода переместился в область пульсэда реперного протона из-за перераспределения сброшенной избыточной энергии спаном атома водорода и сброса части своей энергии наружным атрином спана атома углерода. Необходимо начать работу по созданию программ расчета распределений энергий внутри ядер атомов.

Отыскивая аналоги графану, установлено, что молекула бензола имеет такой же атомарный состав и такую же структуру шестиугольника атомов углерода (рис. 10, а). Однако атомы водорода вынесены за пределы шестиугольника атомов углерода. Атомы углерода и водорода в графене и бензоле не могут установить прямую силовую связь билтонами, так как у них разные радиусы билтонов. Атомы углерода бензола создают малый, а атомы водорода – большой шестиугольники (рис. 10, б). Радиусы андистонов в системе молекулы бензола одинаковые. В параллельных молекулах (атомы углерода  $C_1' - C_1$ ) проекция андистин на плоскость билтонов равна радиусам билтонов, а проекции андистронов параллельных молекул вступили в контакт в центральной зоне шестиугольника. У атомов водорода проекции андистонов на плоскости билтонов равны радиусам билтонов.

Параметры радиусов билтонов и андистонов рассчитаем по Атрисной физике. Так как расстояние  $l_{cc}$  известно, то радиусы атомов углерода будут рассчитываться по формуле:

$$r_{bc} = \frac{l_{cc}}{2} = 0.071 \text{ нм}. \quad (7)$$

Проекция андистрона на плоскость билона, а также радиус билтона атома водорода, имеют одинаковые величины (рис. 10, б):

$$r_a = \frac{l_{cc} + l_{ch}}{2} = 0,1235 \text{ нм}. \quad (8)$$

По Атрисной физике радиус андистона будет равен:

$$r_a = \frac{\sqrt{2}}{2} (l_{cc} + l_{ch}) = 0,1746 \text{ нм}. \quad (9)$$

Произведем расчет объема молекулы бензола, используя табличные значения плотности  $\rho$  и массы молекулы  $m$  бензола [5,6]:



$$V = \frac{m}{\rho} = 1,4753 \cdot 10^{-28} \text{ м}^3, \quad (10)$$

где  $\rho = 879 \text{ кг/м}^3$ ,  $m = 977 \text{ кг}$  и по Атрисной физике. Каждая молекула бензола в сечении представляет собой шестиугольник, описанный вокруг билтонов атомов водорода, площадь которого равна:

$$S = 1.5^3 \cdot (l_{cc} + l_{ch})^2, \quad (11)$$

а высота, соответственно:

$$h = 2r_a = (l_{cc} + l_{ch})\sqrt{2} \quad (12)$$

Для расчета объема, занимаемого молекулой в веществе бензол, воспользуемся формулой:

$$V = \frac{m}{\rho} = 1.4753 \cdot 10^{-28} \text{ м}^3, \quad (13)$$

где  $\rho = 879 \text{ кг/м}^3$ ,  $m = 977 \text{ кг}$ .

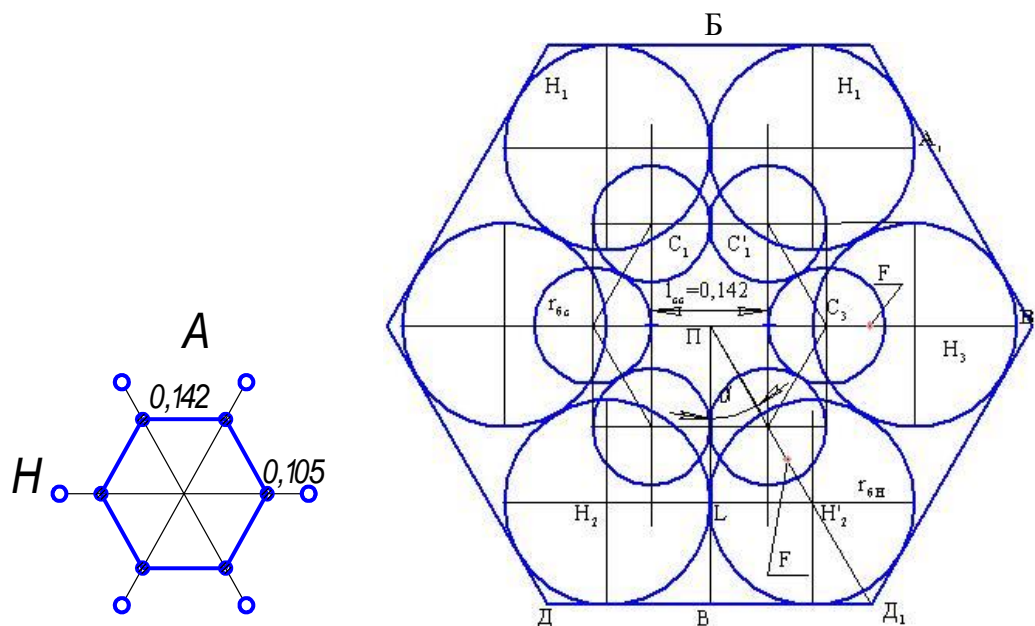


Рис. 10. Классическое изображение молекулы бензола (А) и изображение слоев билтонов атомов бензола, на которые спроектированы андистоны (Б).

По Атрисной физике объем молекулы бензола рассчитаем по формуле:

$$V = 3\sqrt{2} \cdot 1.5^3 \cdot (l_{cc} + l_{ch})^2 \cdot l_{cc} = 1,240 \cdot 10^{-28} \text{ м}^3. \quad (14)$$

Как видно из (10) и (14), Атрисная физика предполагает плотную упаковку молекул бензола, однако, в реальных условиях атомы молекул синтезируют расилшубы, которые расталкивают молекулы и не дают им возможности упорядочить систему, а потому рассчитанный по (10) объем молекулы бензола оказался большим.

## Выводы

1. Установлена структура и параметры атомов графана, который представлен тремя сплошными слоями билтонов Н–С–Н.
2. Синтез графана приводит к перераспределению внутриядерной энергии. Это приводит к снижению энергии наружных атринов спанов атомов исходного графена, и последний утрачивает металлические и приобретает диэлектрические свойства вследствие увеличения энергии, необходимой для ионизации ядер атомов углерода.
3. Атрисная физика позволила рассчитать плотность графена и графана.
4. Показано, что при одних и тех же геометрических размерах и составе атомов могут быть совершенно различные физические свойства.

## Литература

1. Поляков С.П. «Атрисное строение материи», М.: Международный гуманитарный фонд «Знание». -1999, Т.1., 183 с. илл.
2. Поляков С.П. «Разумная жизнь Вселенной», М.: Информ – Знание, 2000 г. – 249 с., илл.
3. Поляков С.П. «Путь осознания вечности», М.: Информ – Знание, 2002 г. – 2008 с., илл.
4. Поляков С.П. Атрисна фізика електрона: Частина 1.- Черкаси: ЧДТУ. 2006.- 55 с., іл.
5. Поляков С.П. Атрисная структура кристаллов, М.: Информ-Знание, 2007.-191с., илл.
6. Сайт: atrisov.narod.ru.

Доктор технических наук, профессор *Поляков Святослав Петрович*  
18002, г. Черкассы, бульв. Шевченко, 245, кв.5, дом. тел. 45-90-76  
E-mail: atrisov@yandex.ru

## Термины

**Андистрон** - набор рейкисов, являющихся продолжением наружных серий вистр филбайтинга. Угол раскрытия серий атдистрона сохраняется  $90^0$  и никогда не меняется.

**Атрис** - продольная частица бесконечно малого, стационарного сечения, состоящая из двух равных по энергии атрисиков (магнитного и электрического), соединенных атросцепом. Атрисики совершают непрерывные продольные пульсации относительно атросцепа: при увеличении магнитного уменьшается электрический практически до нуля, а затем наоборот.

**Билтон** – набор рейкисов в виде кольца, являющихся продолжением вистр наружных серий яритиса.

**Расилшуб** – сменная поверхность атомов, молекул и вещества, которая синтезируется в каждый новый полупериод из квантонов эфира стандартными наружными вистрами яритисов и филбайтингов в начале каждого нового полупериода циклических колебаний атринов и выдвигаются за пределы рейкисов.

**Реперный протон («валентный»)** – протон, яритис которого обладает билтоном и андистоном.

**Филбайтинг** - составная частичка протона, обладающая энергией, равной половине энергии яритиса, а по форме имеет вид восьмерки, вырезанной из яритиса взаимно перпендикулярными диаметрами. Филбайтинг состоит из 900 дивистр, имеет общий полюс с протоном и его ось симметрии располагается перпендикулярно поверхности яритиса. Филбайтинг управляет спаном ядра, который располагается в его плоскости. Каждый атом синтезирует только один филбайтинг и одну филдистину, плоскости которых располагаются взаимно перпендикулярно.

**Яритис** - система управления перемещениями серий атринов пульсада по замкнутым траекториям, которая состоит из 3600 вистр, объединенных попарно в бивистры, а бивистры объединены попарно в дивистры. Яритис, состоящий из коренных вистр, представляет собой диск, серии которого направлены от полюса, колеблются в противофазе и устанавливают силовую связь между собой. Толщина серий яритиса порядка  $10^{-66}$ м. Яритис синтезирует серии, которые направлены в диаметрально противоположном направлении сериям яритиса, создавая параллельный диск – *ладу*.